

## تأثير اختلاف استدامة المطر على التصريف الاقصى

محمد عز الدين محمد

سحر سمير يونس

استاذ مساعد

مدرس مساعد

قسم هندسة السدود والموارد المائية / جامعة الموصل- العراق

### ملخص

تعتبر الامطار المصدر الاساس لمياه الجريان السطحي الطبيعي والفيضان. ان شدة واستدامة العاصفة المطرية إضافة خصائص الجابية ونوع تربتها واستخدام الارض لهم تأثير مباشر على ذروة الجريان. بالاعتماد على الهيدروغرافات المقاسة حقليا لجابية خوشبان احدى الاحواض الثانوية لنهر الخوصر الموسمي قرب مدينة الموصل وجابية صولاك في لقة سنجار- جمهورية العراق ولعدد من العواصف المطرية، اجريت في المرحلة الاولى معايرة كل من النموذج (TR-20) و نموذج (HEC-1) بطريقتي خدمات التربة وصيانتها وطريقة سنايدر ضمن نظام نمذجة الأحواض المائية (WMS) من اجل الحصول على افضل النتائج. قيم أداء النماذج بالاعتماد على المعايير الاحصائية كفاءة النموذج (Nash Model Efficiency) % ومعامل التحديد ( $r^2$ ) والفحص الاحصائي t-test بمقارنة القيم المقاسة محسوبة لكل من التصريف الاقصى اضافة الى زمن التصريف الاقصى وحجم الجريان السطحي. اظهرت النتائج ان ذج (TR-20) هو الافضل. في المرحلة التالية تم تطبيق النموذج TR-20 على كلا الجابيتين ولحلات مختلفة من ة واستدامة المطر وكذلك رقم المنحنى في طريقة خدمات التربة وصيانتها (SCS) والذي يعكس تأثير نوع التربة ورطوبتها الاولية واستخدام الارض والغطاء النباتي. الهدف من ذلك هو الحصول على قيم للتصريف الاقصى من الجابية الات مختلفة من المتغيرات المعتمدة ولكلا الجابيتين لاستنباط معادلة لتقدير تصريف الذروة الناتجة عن سقوط المطر

: التصريف الاقصى، الجريان السطحي، HEC-1 TR-20.

## Effect of Different Sustainable Rainfall on the Peak Flow

Sahar Sameer Younus

M. Ezz-Aldeen Mohammad

Assistant Lecturer

Assistant Professor

Dams and Water Resources Engineering Department

University of Mosul-Iraq

### Abstract

Rainfall is the main source of normal and flood surface flow. The storm intensity and sustainability in addition to the watershed properties soil type and land use have a direct effect on the peak flow. In the first stage of this research the TR-20 model and HEC-1 model based on both SCS method and Snyder method operating under watershed modeling system (WMS). The models were calibrated based on a number measured hydrograph for Khashban which is one of sub-basin of Alkhosar seasonal river near Mosul city, and Solak in Sinjar- Republic of Iraq. The comparison between the two model based on Nash model efficiency E%, determination coefficient ( $r^2$ ) and the t-test values for the measured on predicted value of peak flow, time of peak flow and runoff volume. The result showed that TR-20 model is the best. In the next stage, the TR-20 model was applied for the two watershed for different value of rainfall intensity, duration, and curve number for soil conservation service (SCS) method that reflect the effect of soil type, initial water content, land use and plant cover. The aim is to obtain the peak flow the watershed for different value of consider variables to an equation of peak flow for different values of rainfall duration.

Keywords: peak flow, surface runoff, TR-20, HEC-1.

## 1- المقدمة

تعتبر المياه مصدرا اساسيا لديمومة الحياة على كوكبنا. ومياه الامطار احدى المصادر المهمة التي تزايدت الحاجة في الآونة الاخيرة ل تخزينها وتطوير سبل استغلالها نظرا للنقص الحاصل في موارد المياه وخاصة في المناطق الجافة وشبه الجافة. ان عمق الامطار الساقطة وتوزيعها خلال الموسم المطري يؤثر في ان كمية ما يفقد بجريان سطحي قد يكون بكميات لا يستهان بها موزعة بفترات مختلفة، او تكون بشدة كبيرة مسببة تصارييف كبيرة وغير متوقعة. ان الجريان الناتج من سقوط الامطار على الجابيات أو احواض التغذية ذو اهمية من حيث أنه يعد من المعلومات الاساسية في الدراسات الهيدرولوجية التي تسبق تشييد اي منشأ هيدروليكي. انه من المعروف أن شدة واستدامة العاصفة المطرية لهما تأثير مباشر على ذروة الجريان بالإضافة الى خصائص الجابية ونوع تربتها واستخدام الارض. كذلك فإن تخمين ذروة الجريان تعد من الامور المهمة في دراسة وتحليل الفيضان.

هناك عدة طرق لتقدير التصريف الاقصى للأمطار الساقطة منها الطريقة العقلانية التي تفترض سقوط المطر باستدامة مساوية أو اكبر من زمن تركيز الحوض المائي. وكذلك الطرق التجريبية التي تعتمد على الارتباط الاحصائي لخصائص الذروة ومنطقة الجابية. وأيضاً طريقة الهيدروغراف القياسي الاصطناعي وهنا يجب توفر خصائص المطر وخصائص الارتشاح اضافة الى الهيدروغراف القياسي للجابية.

قام [1] بتطبيق اسلوب الموجة المتحركة ( kinematic wave ) لتحليل الجريان السطحي خلال سطح مستطيل الشكل وإيجاد علاقة بين استدامة المطر الحرجة التي تسبب التصريف الاقصى. بالنسبة للمناطق ذات فواقد الارتشاح العالية تكون استدامة المطر التي تسبب اقصى تصريف اقل من زمن التركيز.

قارن [2] ستة طرق تستخدم لتقدير تصريف الذروة في اربع جابيات زراعية لا تتجاوز مساحتها 5.18 كم<sup>2</sup> وإيجاد الطريقة الاكثر دقة من خلال مقارنة القيم المحسوبة من المعادلات التجريبية مع القيم الحقيقية المقاسة. هذه الطرق هي طريقة Potter التي تعتمد على معادلات الارتشاح في تقدير عمق المطر الفائض (عمق السيلح السطحي) ومن ثم تتم نمذجة الجريان السطحي وطريقة Fletcher التي تعتمد على تكوين علاقة بين المطر والسيلح اعتماد على نموذج Potter و Beckman و USGS و Rational و Technical Release 55. أظهرت نتائج المقارنة أن نموذج Rational أعطى نتائج افضل بالمقارنة مع القيم المقاسة عند فترة عودة 5 سنوات بينما تصلح طريقة كل من Beckman و USGS عند فترة عودة 25 سنة.

قام كل من [3] بتحليل بيانات السيلح لجابية شبه رطبة في شمال ميسيسيبي وبمساحة 21.2 كم<sup>2</sup> لفحص كيفية تأثير ذروة التصريف مع تغير مساحة الحوض أو الجابية ولتحديد العوامل التي تؤثر على خصائص تصريف الذروة في جابية (Goodwin Creek). أظهرت النتائج ان كميات الفيضان تكون متماثلة تقريبا في كل الجابيات الفرعية لجابية (Goodwin Creek) والتي يمكن وصفها بنظرية (Simple Scaling)، وكذلك تصريف الذروة خلال العواصف المنفردة يمكن وصفه كدالة اسية لمساحة الجابية. كانت كميات الفيضان متشابهة في كل الجابيات الفرعية لكون الامطار الساقطة تكون منتظمة نسبيا فوق حوض الجابية وثانياً إن تصريف الذروة في الجابيات الاصغر يكون عالي الارتباط بمعدل المطر الساقط اضافة الى ان كل أجزاء الجابية تساهم تقريبا في السيلح.

قارن [4] دقة كل من النماذج Gray unit hydrograph و SCS unit hydrograph الذي يعتمد على الهيدروغراف القياسي الاصطناعي ونموذج Instantaneous unit hydrograph (G.I.U.H) الذي يعتمد على الهيدروغراف اللحظي الجيومورفولوجي واطافة الى النموذج Gc.I.U.H الذي يعتمد على الهيدروغراف القياسي اللحظي الجيومورفولوجي مع تأثيرات المناخ. لمقارنة دقة النماذج السابقة استخدمت 6 هيدروغرافات للسيلح الناتج من العواصف المطرية في جابية Navroud في ايران والتي كانت مساحتها 266 كم<sup>2</sup>، كان الهدف من المقارنة لتمكن من استخدام تلك النماذج في تحديد شكل وأبعاد هيدروغراف السيلح لجوابي مماثلة لا تتوفر فيها قياسات حقيقة. تم اعتماد زمن الذروة وزمن القاعدة وتصريف الذروة للهيدروغراف إضافة الى حجم السيلح كمعايير للتقييم بين النماذج المختارة. أظهرت نتائج المقارنة أن نموذج SCS unit hydrograph قد أعطى نتائج مقبولة بالنسبة لكل من زمن الذروة وزمن القاعدة وحجم السيلح الهيدروغراف.

قام [5] باستخدام طريقتي Nash و Williams لاشتقاق الهيدروغراف القياسي اللحظي لجابية صولاك سنجار في شمال العراق ووجد ان كلا الطريقتين اعطت نتائج جيدة.

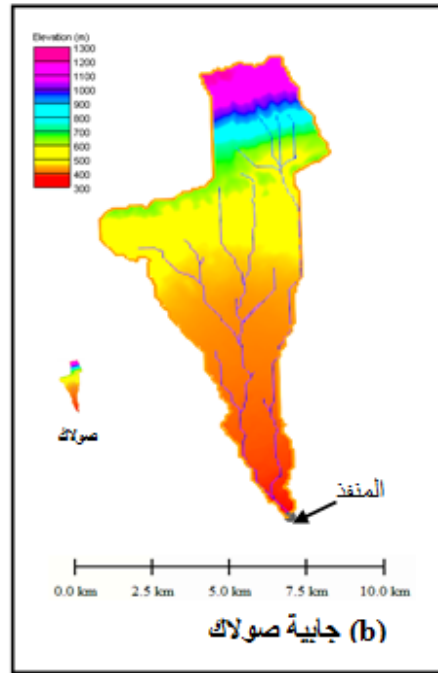
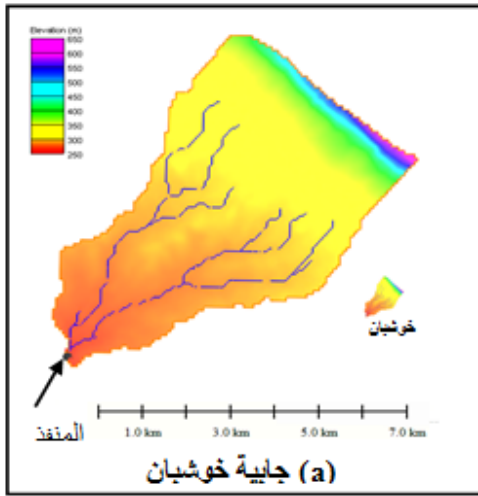
## تأثير اختلاف استدامة المطر على التصريف الاقصى

قام [6] باستخدام نموذج (HEC-HMS) لتقدير حجم الماء المخزون الناتج عن العواصف المطرية لثلاثة سدود في ثلاثة اودية تقع في شمال الامارات العربية المتحدة. تم تحديد العواصف المطرية في الاودية والتي كانت محدودة ومبعثرة. قورنت نتائج النموذج مع القيم المقاسة ولعدة عواصف لحجم الماء وذلك لمعايرة النموذج. تم تطوير منحنيات لعلاقات المطر-السيح بناء على شدة واستدامة العواصف المطرية وتستخدم هذه المنحنيات للتنبأ بالسيح السطحي وحجم الماء المخزون في مناطق الدراسة. اظهر تحليل الحساسية أن كمية الماء المخزن في بحيرة السدود المدروسة يكون مرتبط بشكل خاص وبدرجة كبيرة برقم المنحنى.

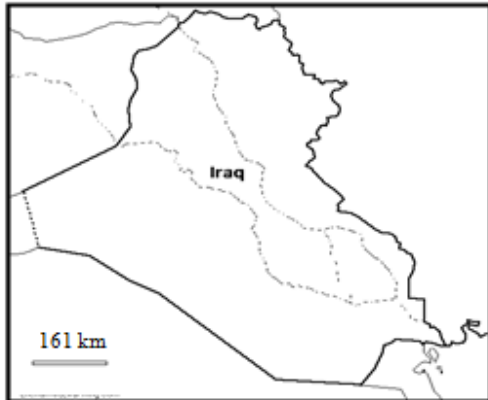
يهدف البحث الحالي الى دراسة تغيير استدامة المطر الساقط على الجابيات وتأثيرها على تصريف الذروة للهيدروغراف الناتج بالإضافة الى تأثير كل من شدة المطر ومعدل ميل الجابية ورقم المنحنى من خلال تقييم اداء النماذج المعتمدة وهي نموذج (TR20) Technical Release-20 ونموذج مركز الهندسة الهيدرولوجية Hydrologic Engineering Center (HEC-1) بطريقة خدمات التربة وصيانتها وطريقة سنايدر ومن ثم اختيار الافضل منها لاعتماده في تحقيق اهداف البحث التي يمكن الاستفادة منها لإقامة سدود حصاد مياه في مناطق الدراسة خاصة بعد شحة المياه التي حصلت في الآونة الاخيرة.

### 2- منطقة الدراسة

اختيرت جابيتين من شمال العراق الاولى هي احد الفرع المغذية لنهر الخوصر الموسمي والمبينة في الشكل (1,a)، والتي تبعد بحدود 25 كم شمال شرق مدينة الموصل. تحد هذه الجابية من الشمال والجنوب الخطوط  $36^{\circ} 32'$  و  $36^{\circ} 28' 30''$  على التوالي ومن الشرق والغرب الخطوط  $43^{\circ} 11' 35''$  و  $43^{\circ} 18' 20''$  على التوالي. تبلغ مساحة الجابية  $36.3 \text{ كم}^2$  وبمعدل ميل 4%.

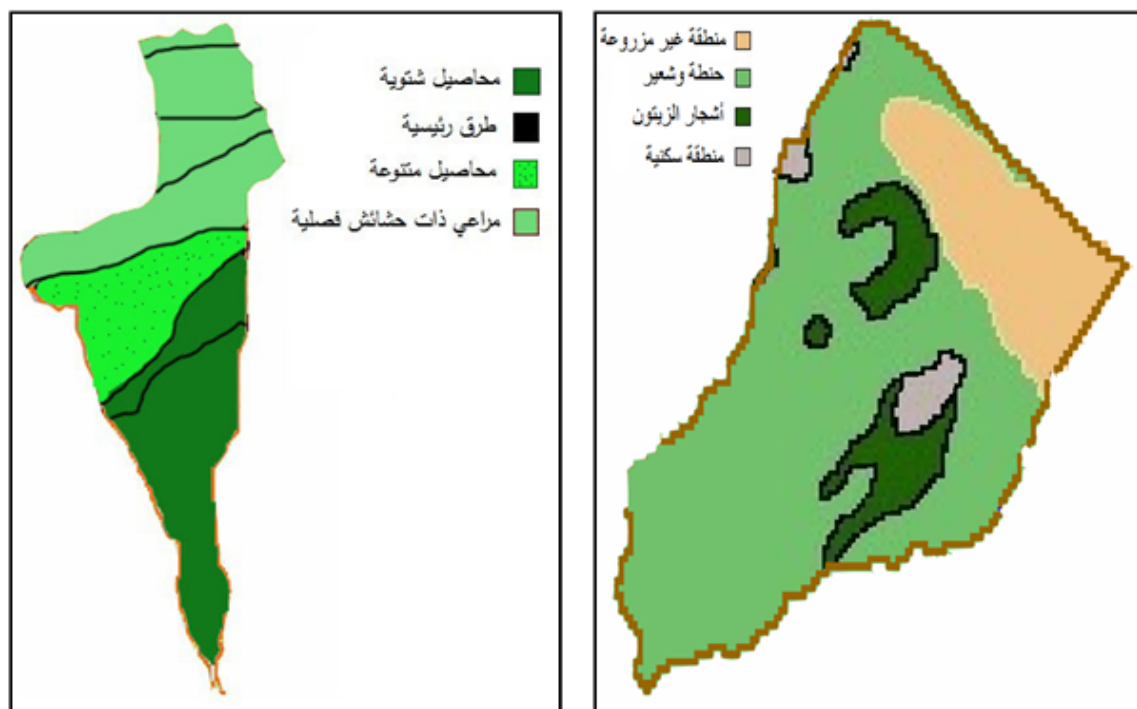


(a) جابية خوشبان (b) جابية صولاك سنجار



الشكل (1): جابية خوشبان وجابية صولاك وموقعهما من خارطة العراق.

اعتمادا على نتائج الدراسات الجيولوجية السابقة عن المنطقة [7] والفحوصات الحقلية التي اجريت [8] تبين ان تربة منطقة الدراسة تراوحت بين تربة مزيجية طينية غرينية وهي تمثل الجزء الاعظم من الجابية بنسبة 83% من المساحة الى طينية غرينية بنسبة 12% من المساحة بالإضافة الى حدود 5% من المساحة عبارة عن حجر صخري صلب يحوي نسبة من الفوالق والتشققات. وبالاعتماد على التحريات الموقعية [8] والخرائط المتوفرة يمكن تصنيف منطقة الدراسة الى ثلاثة انواع رئيسية من استخدامات الارض [9] وكما مبين في الشكل (2,a)، الجزء الشمالي الشرقي من المنطقة والمكونة من كاربونات الكالسيوم والمغنيسيوم إضافة للحجر الجيري هي منطقة غير صالحة للزراعة كما لا تنمو فيها اي نباتات طبيعية نظرا لصلابة التكوين وعدم ملائمته لأي نمو نباتي، وجزء من مساحة الجابية المكون من التربة الطينية الغرينية هي ايضا ارض جرداء بسبب عدم ملائمتها لأي نمو نباتي نظرا لنسبة الطين العالية فيها، يشكل الجزء الاكبر من المساحة المتبقية تربة طينية مزيجية غرينية والتي يتم زراعتها خلال موسم الامطار بمحصولي الحنطة والشعير إضافة الى مساحة محددة من اشجار الزيتون



الشكل (2): استخدام الارض في جابية خوشبان (a) وجابية صولاك سنجار (b).

اما الجابية الثانية فهي جابية صولاك سنجار، كما في الشكل (1,b) والتي تقع شمال شرق مدينة سنجار الواقعة شمال غرب العراق والتي تحدها من الشمال والجنوب الخطوط  $36^{\circ} 21' 55''$  و  $36^{\circ} 12' 01''$  على التوالي ومن الشرق والغرب الخطوط  $41^{\circ} 46' 08''$  و  $41^{\circ} 41' 12''$  على التوالي. تبلغ مساحة الجابية  $53.8 \text{ كم}^2$  وبمعدل ميل 7%. احتوت تربة المنطقة على طين عالي اللدونة مع ترب ملحية وكذلك على طمي طيني رملي حاوي على القليل من المواد العضوية كما ذكره [5]. أما استخدامات التربة في المنطقة [9] فهي حقول لمحاصيل شتوية بنسبة مساحة 48%، مراعي ذات حشائش فصلية بنسبة مساحة 30%، حقول لمحاصيل متنوعة بنسبة مساحة 20%، طرق رئيسية بنسبة مساحة 2%. كما في الشكل (2,b) الذي يوضح استخدام الأرض.

### 3- النماذج المعتمدة

نظرا لعدم توفر قياسات حقلية عديدة لعواصف مطرية مختلفة الخصائص من حيث (العمق - الزمن) وكذلك حالات مختلفة من رطوبة التربة التي ينعكس تأثيرها على رقم المنحنى المعتمد في طريقة خدمات حفظ التربة وطريقة سنايدر Snyder فقد تم تطبيق كل من نموذج (TR20) ونموذج مركز الهندسة الهيدرولوجية (HEC-1) الذين هما احد النماذج المعتمدة في نظام نمذجة الاحواض المائية (WMS) الاصدار 7.1 والمقدم من قبل ( Environmental Modeling Research )

## تأثير اختلاف استدامة المطر على التصريف الاقصى

هيدرولوجرافات مقاسة في مناطق الدراسة. الهدف من ذلك هو تقييم اداء هذه النماذج اعتمادا على معايير احصائية للتقييم واختيار الافضل بينهما.

### 4- وصف النماذج

#### 1-4 نموذج TR-20

إن نموذج TR-20 والمقدم من قبل خدمات حفظ التربة (Soil Conservation Services) يستنتج الهيدرولوجراف القياسي بطريقة SCS ومن ثم استخدامه كدالة لغرض ايجاد هيدرولوجراف المطر الفائض. يفترض النموذج أن الجابية مقسمة إلى عدة جوانب ثانوية وقنوات طبيعية لا تزيد مساحة الجابية عن (25) ميل مربع و أن هذه الجوانب متماثلة ومتجانسة من حيث الخصائص الهيدرولوجية والمعرضة لعواصف مطرية متجانسة. يكون مخرجات النموذج كل من الهيدرولوجراف الناتج من كل جابية ثم يعطي الهيدرولوجراف عند نقطة المنفذ لتلك الجوانب (Outlet) اضافة الى حجم السيلج الناتج. يمكن استنتاج الهيدرولوجراف لكل جابية ثانوية وعن طريق معرفة المساحة المبزولة وزمن التركيز ورقم المنحني كمدخلات، لعمق مطر معين وتوزيع معين، يقدر عمق السيلج في طريقة SCS كالآتي [10]:

$$Q = \frac{(P - I_a)^2}{(P - I_a) + S} \quad \dots\dots\dots(1)$$

حيث أن :

- $S$  : أقصى احتفاظ محتمل للمياه (الخرزين الكامن)، أنج.
- $Q$  : عمق السيلج السطحي، أنج.
- $P$  : عمق المطر، أنج.
- $I_a$  : عمق الاحتجاز الأولي، أنج.

وتعتبر الطريقة ان:

$$I_a = 0.2S \quad \dots\dots\dots(2)$$

لذلك تصبح المعادلة كالآتي:

$$Q = \frac{(P - 0.2S)^2}{(P + 0.8S)} \quad \dots\dots\dots(3)$$

ويمكن حساب  $S$  بالاعتماد على المعادلة التالية [10]:

$$S = \frac{1000}{CN} - 10 \quad \dots\dots\dots(4)$$

حيث أن:

$CN$ : رقم المنحني للسيلج السطحي.

ويمكن تقدير أقصى تصريف بطريقة (SCS) (الهيدرولوجراف القياسي المثلث) باستخدام المعادلة التالية:

$$q_p = \frac{C_1 A Q^-}{t_p} \quad \dots\dots\dots(5)$$

حيث أن:

- $q_p$ : أقصى تصريف، قدم<sup>3</sup>/ثا.
- $C_1$ : ثابت تجريبي (معامل التصريف الأقصى) ويساوي 484.
- $t_p$ : زمن أقصى تصريف، ساعة.
- $Q^-$ : السيلج السطحي/ لعمق أنج واحد من الهيدرولوجراف القياسي.
- $A$ : مساحة الجابية، ميل مربع.

حيث أن زمن أقصى تصريف ( $t_p$ ) يساوي حوالي ثلثين من زمن التركيز ( $t_c$ ) لذلك تصبح المعادلة السابقة بالصيغة التالية:

$$q_p = \frac{726AQ^-}{t_c} \dots\dots\dots(6)$$

حيث أن :

$t_c$  : زمن التركيز، ساعة.

أما زمن القاعدة للثلث (الهيدروغراف) فيحسب من المعادلة التالية [10]:

$$T_b = \frac{8}{3}t_p \dots\dots\dots(7)$$

حيث أن :

$T_b$  : زمن قاعدة الهيدروغراف، ساعة.

بعد استنتاج الهيدروغراف القياسي يتم إيجاد هيدروغراف ألسيح السطحي للعاصفة المطرية المعنية.

#### 2-4 نموذج HEC-1

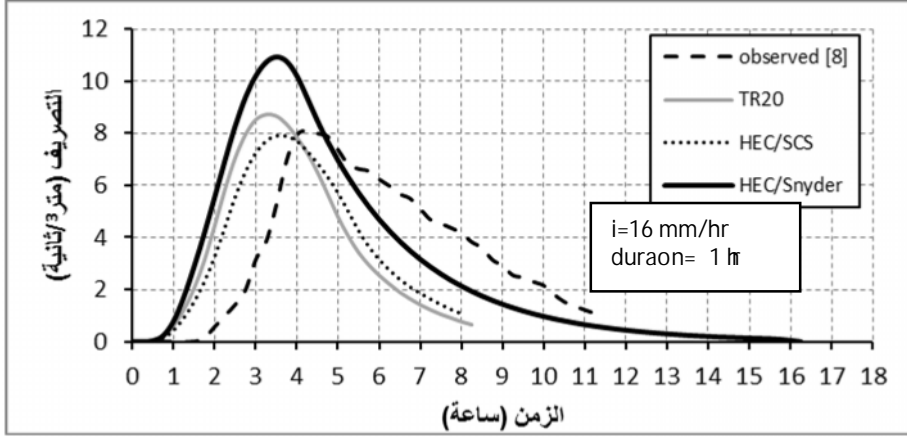
تقديم هذا النموذج وتطويره من قبل الهندسة العسكرية للولايات المتحدة الأمريكية، إن هذا النموذج مصمم لمحاكاة ألسيح السطحي والمطر الساقط على حوض النهر عن طريق تمثيل حوض النهر كنظام مترابط بين مركبات الهيدروولوجي والهيدروليكي ، كل مركبة تعبر عن (السقيط – سيح) ضمن جزء من الحوض والذي يسمى بالحوض الثانوي ( Sub Basin ) ، وهذه المركبة قد تكون على شكل سيح سطحي، مجرى قناة أو خزان. لكي يتم تمثيل هذه المركبات هنالك العديد من العوامل التي تحدد الخصائص المعينة لهذه المركبات والعلاقات الرياضية التي توضح العمليات الفيزيائية ، وكنتيجة لصياغة هذه العمليات يتم حساب هيدروغراف الجريان عند الموقع المطلوب على حوض النهر. يعتمد هذا النموذج على العديد من الطرق في حساب الهيدروغراف القياسي وهنا تم استخدام طريقة بخدمات حفظ التربة (SCS Unit Hydrograph) وطريقة سنايدر. إن هذه طريقة SCS مماثلة للطريقة المستخدمة في النموذج (TR-20) والتي تم شرحها سابقا إلا أنها تعتمد على قيمة زمن التأخير في حساب الهيدروغراف القياسي ومن ثم إيجاد هيدروغراف السيح السطحي اما طريقة سنايدر فتعتمد على الهيدروغراف الصناعي كما قدمها Snyder [10].

#### 5- تطبيق النماذج

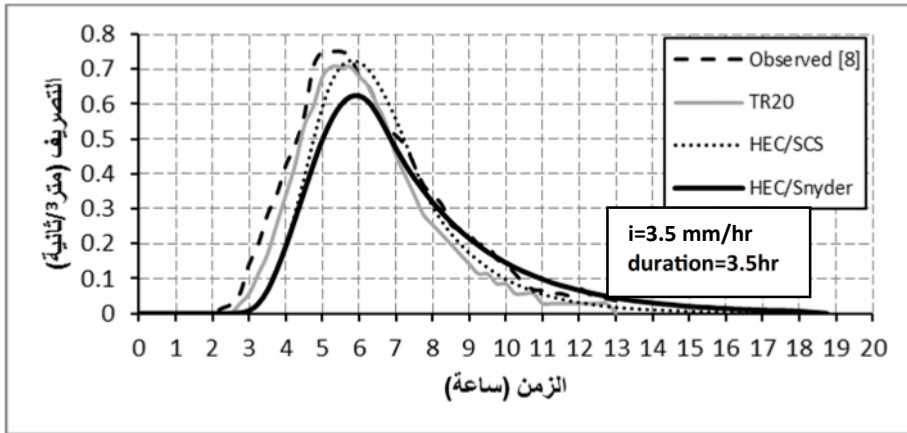
اعتمادا على استخدامات الأرض ونوع التربة لكل جابية حدد رقم المنحني (CN) والمدى الذي يمكن أن يتغير فيه لغرض تهيئة البيانات اللازمة، اعتمدت الخرائط المتوفرة لاستخدامات الأرض وتصنيف تربة المنطقة وتم قراءتها من خلال نظام نمذجة الاحواض المائية لغرض تحديد رقم المنحني لكل جابية كما قدمها [10]. طبقت النماذج المقدمة سابقا والتي تضمنت كل من النماذج (TR-20) و نموذج (HEC/SCS) و (HEC/Snyder) بواسطة نظام نمذجة الأحواض المائية (WMS) على كل من جابية خوشبان ووصولك سنجان والتي تتوفر فيهما قياسات حقلية لهيدروغراف الجريان السطحي ولعدة عواصف مطرية لتقييم اداء هذه النماذج.

اعتمدت بيانات ثلاثة عواصف مطرية لكل من مساحة الجابية الاولى وكذلك الجابية الثانية قيد الدراسة والمتمثلة بقياس عمق المطر الساقط واستدامة العاصفة المطرية وهيدروغراف الجريان السطحي الناتج عنها عند نقطة المنفذ [8] و [5]. يبين الاشكال (3,a,b,c) والاشكال (4,a,b,c) الهيدروغرافات المقاسة وافضل النتائج التي تم التوصل اليها بعد معايرة النماذج للهيدروغرافات المحسوبة من النماذج (TR-20) و (HEC/SCS) و (HEC/Snyder) للجابيتين على التوالي وللعواصف المرصودة.

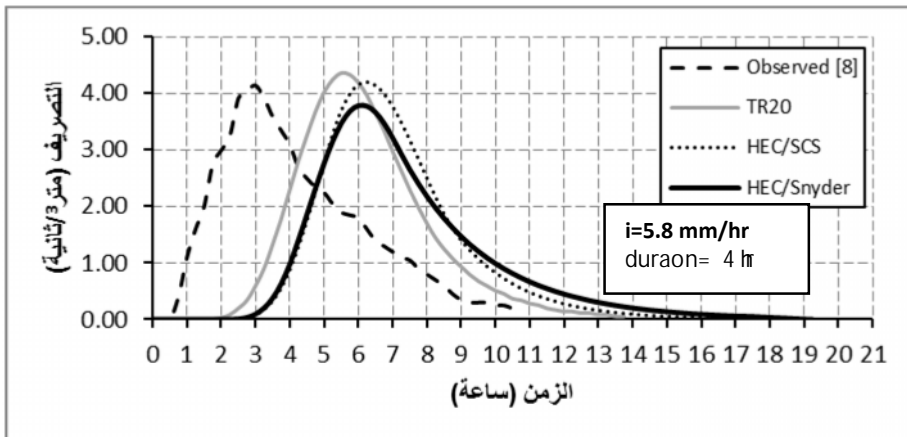
تأثير اختلاف استدامة المطر على التصريف الاقصى :



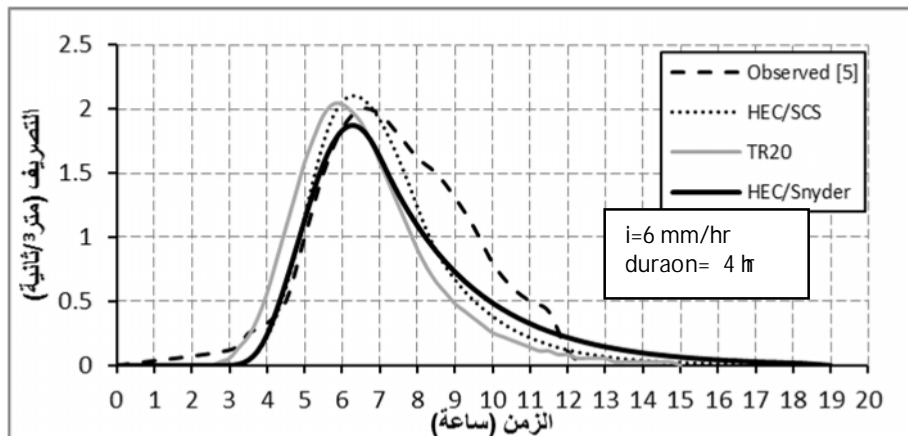
الشكل(3,a): الهيدروغراف المقاس والمحسوب من النماذج للعاصفة الاولى لجابية خوشبان.



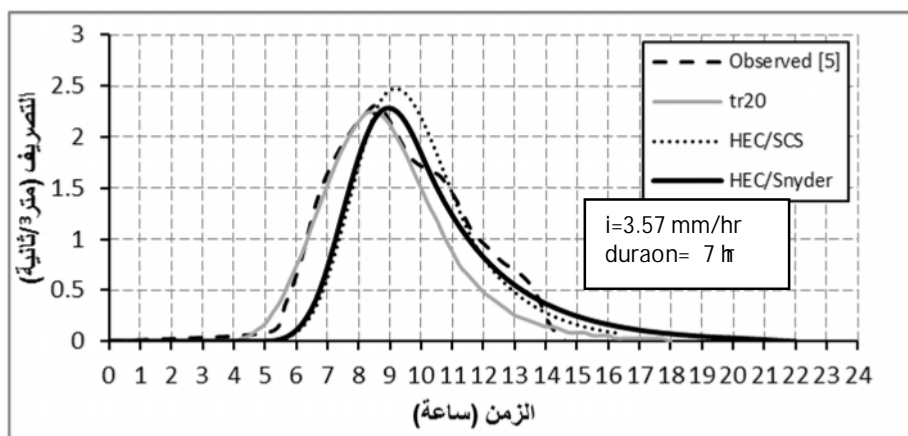
الشكل(3,b): الهيدروغراف المقاس والمحسوب من النماذج للعاصفة الثانية لجابية خوشبان.



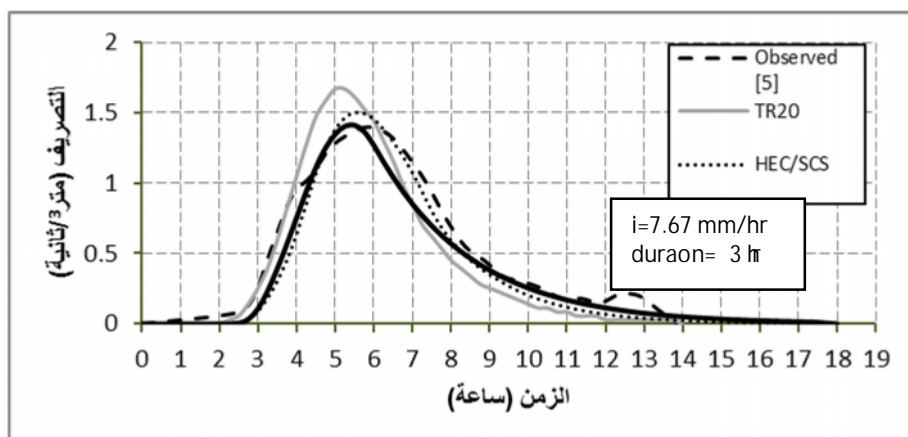
الشكل(3,c): الهيدروغراف المقاس والمحسوب من النماذج للعاصفة الثالثة لجابية خوشبان.



الشكل(4,a): الهيدروغراف المقاس والمحسوب من النماذج للعاصفة الاولى لجابية صولاك سنجار.



الشكل(4,b): الهيدروغراف المقاس والمحسوب من النماذج للعاصفة الثانية لجابية صولاك سنجار.



الشكل(4,c): الهيدروغراف المقاس والمحسوب من النماذج للعاصفة الثالثة لجابية صولاك سنجار.

#### 6- النتائج والمناقشة

بالاعتماد على الهيدروغرافات المقاسة حقلية لجابية خوشبان وجابية صولاك سنجار ولعدد من العواصف المطرية اجريت معايرة كل من النموذج (TR-20) و (HEC/SCS) (HEC/Snyder) من اجل الحصول على افضل النتائج. تمت معايرة النماذج من خلال تغيير رقم المنحنى ضمن المدى الذي يتراوح به [10] حسب نوع التربة واستخدام الارض حيث كان قيمة رقم المنحنى الذي اعطى افضل نتائج فهو 86 75 لجابية خوشبان وصولاك سنجار على التوالي.

## تأثير اختلاف استدامة المطر على التصريف الاقصى

المعايير الاحصائية  
t-test القيم المقارنت  
كل من التصريف الاقصى وهو الهدف الاساس من هذا البحث اضافة  
ريف الاقصى وحجم الجريان السطحي، لغرض تقييم اداء النماذج.  
(Nash Model Efficiency) % ومعامل التحديد ( $r^2$ ) والفحص

اظهرت نتائج القيم لهذه الجوابي ان نموذج (TR-20) هو الافضل حيث كانت قيم كفاءة النموذج 99 و 51 و 86 لكل من التصريف الاقصى وزمن حدوثه وحجم الجريان السطحي على التوالي. ومعامل التحديد 0.99 و 0.54 و 0.97 لنفس المتغيرات اعلاه على التوالي وكانت قيم الفحص الاحصائي المدرجة في الجدول (1) اقل من القيم الجدولية [11] مما يعني عدم وجود فروقات معنوية بين القيم المقاسة والمحسوبة. بينما كانت قيمة كفاءة النموذج ومعامل التحديد اقل في نموذج (HEC/SCS) بالنسبة لزمن الذروة وكانت قيمة كفاءة النموذج اقل في نموذج (HEC/Snyder) بالنسبة لتصريف الذروة وكما موضحة في الجدول (1)، وبما انه اداء النموذج TR-20 و HEC/SCS كان افضل بالنسبة لقيمة تصريف الذروة وهو الهدف الاساس في هذه الدراسة وكان اداء TR-20 افضل من HEC/SCS بالنسبة لزمن الذروة، وعليه تم اختيار TR20.

(1): قيم المعايير الاحصائية لتقييم اداء النماذج HEC/Snyder HEC/SCS TR20.

HEC/Snyder	HEC/SCS	TR20	نوع المعيار	المتغير
71	99	99	%	قيمة تصريف
0.97	0.99	0.99	معامل التحديد ( $r^2$ )	
0.22	0.02	0.1	t-	
50	44	51	%	التصريف
0.52	0.49	0.54	معامل التحديد ( $r^2$ )	
0.2	0.2	0.2	t-	
94	85	86	%	حجم الجريان
0.99	0.97	0.97	معامل التحديد ( $r^2$ )	
0.01	0.35	0.35	t-	

في المرحلة التالية طبق النموذج على كلا الجانبين ولحالات مختلفة من رقم المنحنى والذي يعكس تأثير نوع التربة ورطوبتها الاولية واستخدام الارض والغطاء النباتي حيث تراوحت قيم رقم المنحنى حسب خصائص الجابية من 75-90 ، وشدة مطر من 3.5-16 ملم/ساعة (ضمن حدود الامطار الساقطة في المنطقة) وباستدامة مختلفة (لم تتجاوز زمن التركيز) وبلغ عدد الحالات التي تمت محاكاتها 90 حالة. الهدف من ذلك هو الحصول على قيم للتصريف الاقصى من لجابية لحالات مختلفة من المتغيرات المعتمدة وكلا الجانبين.

استخدمت صيغة المعادلات ادناه في التحليل الاحصائي من اجل ايجاد افضل علاقة لا بعدية بين التصريف الاقصى للهيدروغراف عند استدامة معينة الى التصريف الاقصى الذي يحصل عند زمن التركيز مع المتغيرات المؤثرة على هذه النسبة وهي كل من شدة المطر الساقط ونسبة استدامة المطر الساقط الى الاستدامة التي تساوي زمن التركيز ومعدل ميل الجابية انت افضل علاقة بالصيغة التالية:

$$\frac{q_p}{q_{tc}} = t^{0.612} \left( \frac{d}{d_{tc}} \right)^{3.29} CN^{0.035} S^{0.483} \quad \text{If } d \geq d_{tc} \text{ then } q_p = q_{tc} \dots\dots\dots(8)$$

حيث أن:

$q_p/q_{tc}$  : تصريف الذروة عند استدامة معينة الى تصريف الذروة والذي يحصل عند سقوط المطر باستدامة تساوي او اكبر من زمن التركيز.  
i :  
d / d<sub>tc</sub> : نسبة استدامة العاصفة المطرية الى الاستدامة التي تساوي زمن التركيز.  
S : معدل ميل الجابية.

عاصفة مطرية اقل من الذي يسبب تصريف الذروة ( زمن التركيز ) في حالة كون هذا الزمن يساوي اعلى من زمن تصريف الذروة فيكون التصريف الناتج هو نفسه تصريف الذروة. معامل التحديد (r2) (8) 0.84 % 67 من البيانات من اجل ايجاد قيم ثوابتها. ايضا في تقدير الجزء (غير المستخدم) من البيانات لغرض تقييم اداءها. يبين الشكل (5) القيم المحسوبة غير المستخدم من البيانات والقيم TR20 والتي كان معامل التحديد (r2) لها 0.79 يعزز امكانية تطبيق هذه المعادلة في تقدير نسبة التصريف الاقصى الذي يمكن حدوثه عند معرفة شدة المطر الساقط واستدامته اضافة الى خصائص الجابية.

تم ايجاد معادلة اخرى لتقدير التصريف الاقصى عند اي است (SPSS) 13 وبعتماد اسلوب التحليل غير الخطي، حيث كانت المعادلة بالصيغة التالية:

$$q_p = i^{30.86} d^{2.029} CN^{6.578} s^{35.99} A \quad \text{If } d \geq d_{cc} \text{ then } d = d_{cc} \dots\dots\dots(9)$$

حيث أن:

$q_p$ : تصريف الذروة عند استدامة معينة، م/3 .

$d$ :

$A$ : مساحة الجابية، كم2.

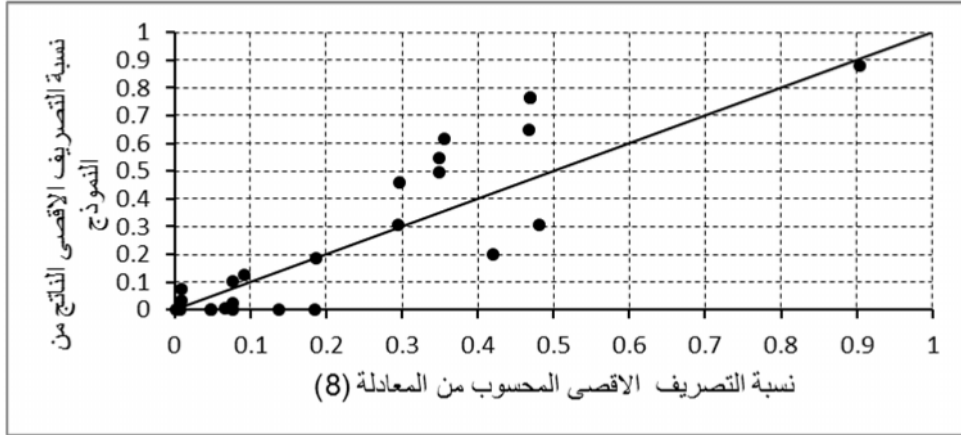
(9) % 67 من البيانات والتي بلغ معامل التحديد لها 0.95. يبين الشكل (6) القيم المحسوبة من غير المعتمد من البيانات والقيم الناتجة من النموذج والتي كان معامل التحديد لها 0.96.

تطبق هذه (9) لزمن الاستدامة المطرية اقل او يساوي زمن تصريف الذروة (زمن التركيز) وفي حالة كون هذا الزمن اكبر من زمن تصريف الذروة فيعتمد زمن الذروة لتقدير التصريف. وسيلة ذات اهمية كبيرة في تقدير تصارييف الذروة الناتجة عن سقوط المطر . حيث تمتاز كونها سهلة التطبيق والمتغيرات التي تحتاجها والتي تصد خصائص الجابية والتي يمكن تحديدها بسهولة حيث ان معدل ميل الجابية يعتمد على طوبوغرافيتها ويمكن تحديده من الخرائط الكنتورية او بيانات نموذج المناسيب الرقمية (DEM) هو معلوم يعتمد على خصائص تربة الحوض او المنطقة المعنية اضافة الى استخدامات الارض وهناك جداول خاصة بها. يمكن اعتماد هذه المعادلات في تقدير تصريف الذروة في الدراسات الهيدرولوجية المختلفة، والتصاميم ذات الخصائص المماثلة او المقاربة للجابيات قيد ا

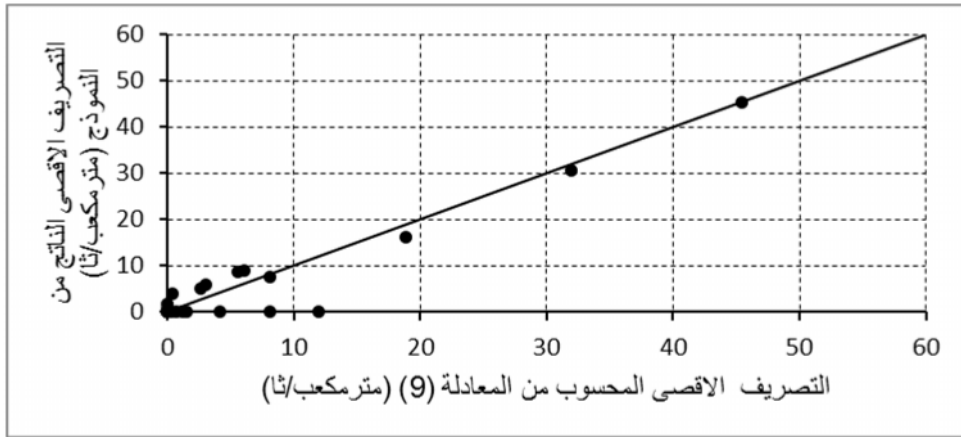
.7

ان شدة واستدامة العاصفة المطرية اضافة الى خصائص الجابية ونوع تربتها واستخدام الارض لهم تأثير مباشر على ذروة الجريان. بالاعتماد على الهيدروغرافات المقاسة حقليا لجابية خوشبان احدى الاحواض الثانوية لنهر الخوصر الموسمي وجابية صولاك/ ولعدد من العواصف المطرية، اجريت معايرة كل من النموذج (TR-20) (HEC/SCS) (HEC/Snyder) ضمن نظام نمذجة الاحواض المائية (WMS) اظهرت ان نموذج (TR-20) هو الافضل بين النماذج المعتمدة. علاقة لا بعيدية بين التصريف الاقصى للهيدروغراف عند استدامة معينة الى التصريف الاقصى الذي يحصل عند زمن التركيز مع المتغيرات المؤثرة على هذه النسبة وهي كل من شدة المطر الساقط ونسبة استدامة المطر الساقط الى الاستدامة التي تساوي زمن التركيز ورقم المنحنى ومعدل ميل الجابية. يمكن اعتماد هذه المعادلات طة في تقدير تصريف الذروة في الدراسات الهيدرولوجية وتصاميم المنشآت الهيدروليكية المختلفة، والتصاميم ذات الخصائص المماثلة او المقاربة للجابيات قيد

تأثير اختلاف استدامة المطر على التصريف الاقصى



(5): القيم المحسوبة من المعادلة (8) مع القيم المتوقعة



(6): القيم المحسوبة من المعادلة (9) مع القيم المتوقعة من النموذج.

.8

- 1- Chen, C. N. and Wong, T. S. W. (1993) "Critical Rainfaal Duration For Maximum Discharge From Overland Plane," Journal of Hydraulic Engineering, 119(9).
- 2- Hotchkiss, R. H. and McCallum, B. E. (1995) "Peak Discharge for Small Agricultural Watersheds," Journal of Hydraulic Engineering, 121(1).
- 3- Ogden, F. L. and Dawdy, D. R. (2003) "Peak Discharge Scaling in Small Hortonian Watersheds," Journal of Hydrologic Engineering, 8(2).
- 4- Mojaddadi, H., Habibnejad, M., Solaimani, K., Ahmedi, M. Z., and Hadian-Amri, M. A. (2009) "An Investigation of Efficiency of Outlet Runoff Assessment Model: Navroud Watershed, Iran," Journal of Applied Science, 9(1), 105-112.
- 5- Haji Ali, E., 2010, Application of Different Models for Development of Instantaneous Unit Hydrograph for Solag Watershed. M.Sc. Thesis, University of Duhok, Iraq.
- 6- Sherif, M. M., Mohamed, M. M., Shetty, A., Almulla, M., (2011) "Rainfall-Runoff Modeling of Three Wadis in the Northern Area of UAE," Journal of Hydrologic Engineering, 16(1).
- 7- Al-Naqib S. Q. (1980) Geology of Atrush area. M.Sc. Thesis, University of Mosul, Mosul, Iraq.

- 8- Mohammad, M. E., (2008) "Study of Grid Size Effect for Digital Elevation Model on Runoff Hydrograph," Third International Conference on Water Resources and Arid Environments. Riyadh, Saudi Arabia
- 9- Al-Daghastani H. S., (2008). Land Use Map of Nienava Government Based on Satalite Image, Remote Sensing Center, Mosul University, Iraq.
- 10- Mays, L. W., (2004) ,Water Resources Engineering, Environmental Engineering , John Wiley and Sons (Asia) Pte Ltd., P271-275.
- 11- Bluman, Allan. G., (2004) ,Elementary Statistics, Mc Graw Hill, Fifth Edition., P737

اجراء البحث في كلية الهندسة = جامعة الموصل